

# [2025] 鉄筋コンクリート柱における横補強筋の拘束効果に関する実験的研究

正会員 矢代 秀雄 (日本大学生産工学部)  
 正会員 花井 重孝 (日本大学生産工学部)  
 正会員 ○高橋 勝治 (日本大学生産工学部)

## 1. まえがき

鉄筋コンクリート柱のじん性を得るためには、コアコンクリートの横方向への変形を横補強筋で有効に横拘束することである。著者らは、横補強筋に帯筋と帯筋によって囲まれたコアコンクリートの中につ切り異形棒鋼を格子状に配筋して、異形棒鋼とコアコンクリートの付着によりコアコンクリートの拘束効果をはかり、帯筋の拘束効果と格子状配筋の拘束効果で強度とじん性を向上させることを報告してきた。[1]

本研究は、正方形断面のコンクリート短柱を横補強筋(帯筋と格子状異形棒鋼)のみで補強し、中心圧縮力を加え、帯筋間隔(Sy)と中に入れる異形棒鋼の本数(n)を変化させて、特に横補強筋量の多い試験体を発表論文[1]に加えて圧縮ひずみ3%までの横補強筋量と耐力との関係を調べたものである。

## 2. 実験概要

試験体の形状および寸法を図-1に示す。全試験体いずれも、全長1m、中央60cmを試験区間とし、40cm×40cmの正方形断面、かぶり厚さ4.5cmとし、軸方向鉄筋を用いない横補強筋のみの試験体とした。横補強筋の断面形状は、図-2に示すように帯筋と帯筋のコア内に均等に配筋した格子状異形棒鋼からなり、(a)、(d)、(e)、(f)の4種類とし、(b)、(c)の棒鋼本数1本、2本は発表論文[1]のものをのせた。横補強筋は、帯筋、コア内の異形棒鋼ともD10(SD30A-降伏応力度 $\sigma_y=3900\text{kgf/cm}^2$ )を使用した。

帯筋は一辺30cmの正方形で、余長を8dとした。また、コア内に格子状に用いた異形

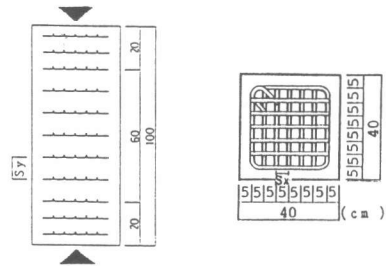


図-1 試験体の形状および寸法

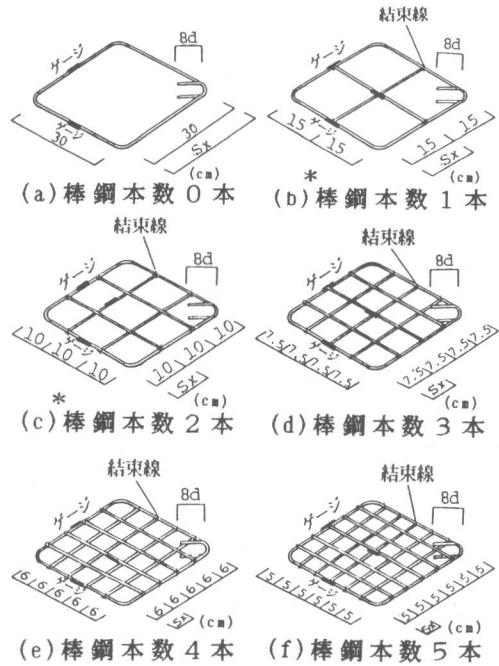


図-2 横補強筋の形状

試験体名  
 ① ②

① 帯筋間隔	② 横補強筋(棒鋼)間隔
05 : 5.0 cm	05 : 5.0 cm (棒鋼本数5本)
07 : 7.5 cm	06 : 6.0 cm (棒鋼本数4本)
10 : 10.0 cm	07 : 7.5 cm (棒鋼本数3本)
12 : 12.5 cm	30 : 30.0 cm (棒鋼本数0本)
15 : 15.0 cm	
17 : 17.5 cm	

図-3 試験体名の説明



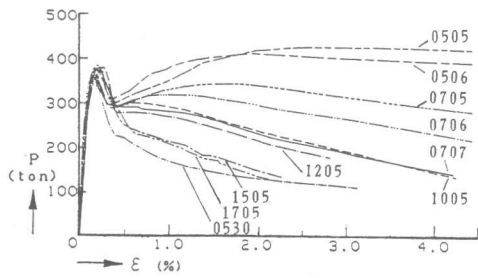


図-7 荷重-ひずみ曲線

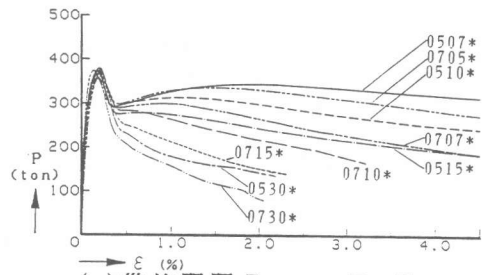
図-9は、横補強筋の配筋量と最大耐力 ( $P_{max}$ ) の関係を示したものである。縦軸には、最大耐力 ( $P_{max}$ ) を全断面 ( $A_g$ ) とシリンダ強度 ( $\sigma_B$ ) で除した値をとり、横軸には横補強筋比 ( $\rho_w$ ) をとった。図中の□印は発表論文 [1] より得たものである。このグラフより、大部分の試験体がシリンダ強度の約 0.8 倍程度の値であった。

図-10は、横補強筋量と耐力の関係を、最大耐力時まで全断面有効、 $P_c$  時以後コアコンクリートのみ有効とし、各ひずみ時 ( $\epsilon_c \sim 3.0\%$ ) の応力を求め、最大耐力時応力に対する各ひずみ時応力の割合 ( $P/A_c$ ) / ( $P_{max}/A_g$ ) を縦軸にとり、横補強筋比 ( $\rho_w$ ) を横軸にとってひずみ  $\epsilon_c$  ( $\cong 0.4\%$ ) から  $3.0\%$  まで  $0.2\%$  毎に (a) ~ (n) に示したものである。なお、各試験体の  $\epsilon_u$  の平均値は  $0.19\%$ 、 $\epsilon_c$  の平均値は  $0.38\%$  となっており、 $\epsilon_u \cong 0.2\%$ 、 $\epsilon_c \cong 0.4\%$  として用いる。したがって、図-10(a) の  $\epsilon_c$  の実験式は  $0.4\%$  の曲線とした。また、図中の□印は発表論文 [1] より得たものである。これらのデータより、各ひずみ時における横補強筋比と耐力の関係を実験式

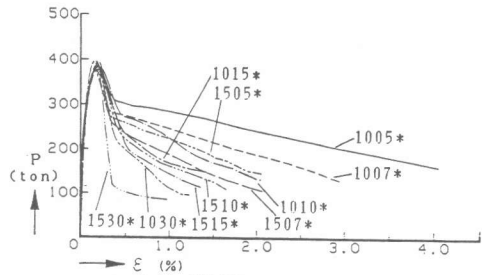
$$\frac{P/A_c}{P_{max}/A_g} = \frac{\alpha \rho_w}{\rho_w + \beta} - \gamma$$

(ただし、 $\alpha, \beta, \gamma$  は係数) で表した。

図-11は、図-10の(a)~(n)で示した  $\epsilon = 0.4 \sim 3.0\%$  の実験式の曲線をまとめて表したものである。これらの曲線が



(a) 帯筋間隔 5 cm, 7.5 cm



(b) 帯筋間隔 10 cm, 15 cm

図-8 荷重-ひずみ曲線

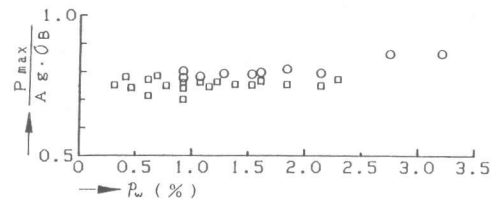


図-9 横補強筋比と最大耐力の関係

表-2 実験結果一覧

試験体 番号	シリンダ 強度 $\sigma_B$ kg/cm <sup>2</sup>	$\epsilon \cong 0.2\%$ 時		$\epsilon \cong 0.4\%$ 時		1.0% 時		2.0% 時	
		$P_{max}$ ton	$\epsilon_u$ %	$P_c$ ton	$\epsilon_c$ %	$P$ ton	$P$ ton	$P$ ton	$P$ ton
0505	259	357.8	0.162	296.6	0.311	349.9	419.8		
0506	273	276.6	0.196	318.1	0.271	378.4	411.7		
0507*	307	378.9	0.191	294.0	0.326	327.2	345.2		
0510*	308	371.3	0.181	297.4	0.322	313.6	299.5		
0515*	310	373.2	0.183	278.8	0.362	274.6	244.6		
0530*	310	366.8	0.184	239.4	0.427	178.8	144.1		
0530	278	345.3	0.179	230.2	0.360	169.6	131.1		
0705*	311	372.0	0.209	299.9	0.375	329.8	332.2		
0705	280	355.5	0.179	295.7	0.329	330.7	340.6		
0706	285	367.8	0.154	289.7	0.346	319.5	297.1		
0707*	311	373.9	0.140	292.7	0.328	299.6	266.4		
0707	293	370.1	0.246	299.6	0.375	282.4	233.2		
0710*	312	379.8	0.197	285.6	0.402	262.3	218.5		
0715*	312	349.5	0.159	259.9	0.421	212.3	151.1		
0730*	314	358.5	0.183	231.5	0.375	157.1	84.0		
1005*	315	385.1	0.191	310.2	0.375	284.6	242.0		
1005	298	379.0	0.267	297.1	0.388	292.9	239.4		
1007*	315	375.5	0.161	284.4	0.329	246.4	188.4		
1010*	316	383.2	0.210	274.8	0.465	225.8	133.0		
1015*	316	396.0	0.160	261.9	0.336	168.1			
1030*	316	375.2	0.148	222.1	0.390	111.6			
1205	300	380.0	0.229	284.4	0.392	270.6	217.6		
1505*	316	384.1	0.187	270.8	0.340	223.8	147.9		
1505	300	375.0	0.200	255.0	0.483	215.6	149.1		
1507*	316	378.2	0.192	248.8	0.445	188.2	109.6		
1510*	316	388.8	0.183	236.4	0.435	160.9			
1515*	316	393.9	0.197	217.9	0.482	144.1			
1530*	317	380.3	0.180	120.4	0.352				
1705	300	384.4	0.200	240.0	0.575	210.3	136.1		

[\*]: 著者の発表論文 [1] より引用した。

ら、 $\varepsilon_c \doteq 0.4\%$  の曲線では、 $\rho_w = 1.0\%$  程度を越えると横補強筋量が増えても耐力にあまり大きな差はなく、 $\rho_w = 1.0\%$  以下では横補強筋量の減少に伴い耐力の低下が特に著しいものとなっている。これに対して、 $\varepsilon = 3.0\%$  では横補強筋量による耐力の差が著しく、横補強筋量を多くすれば耐力はかなり大きくなる。

図-12は、各ひずみ時の実験式の係数 $\alpha$ 、 $\beta$ 、 $\gamma$ について表したものである。

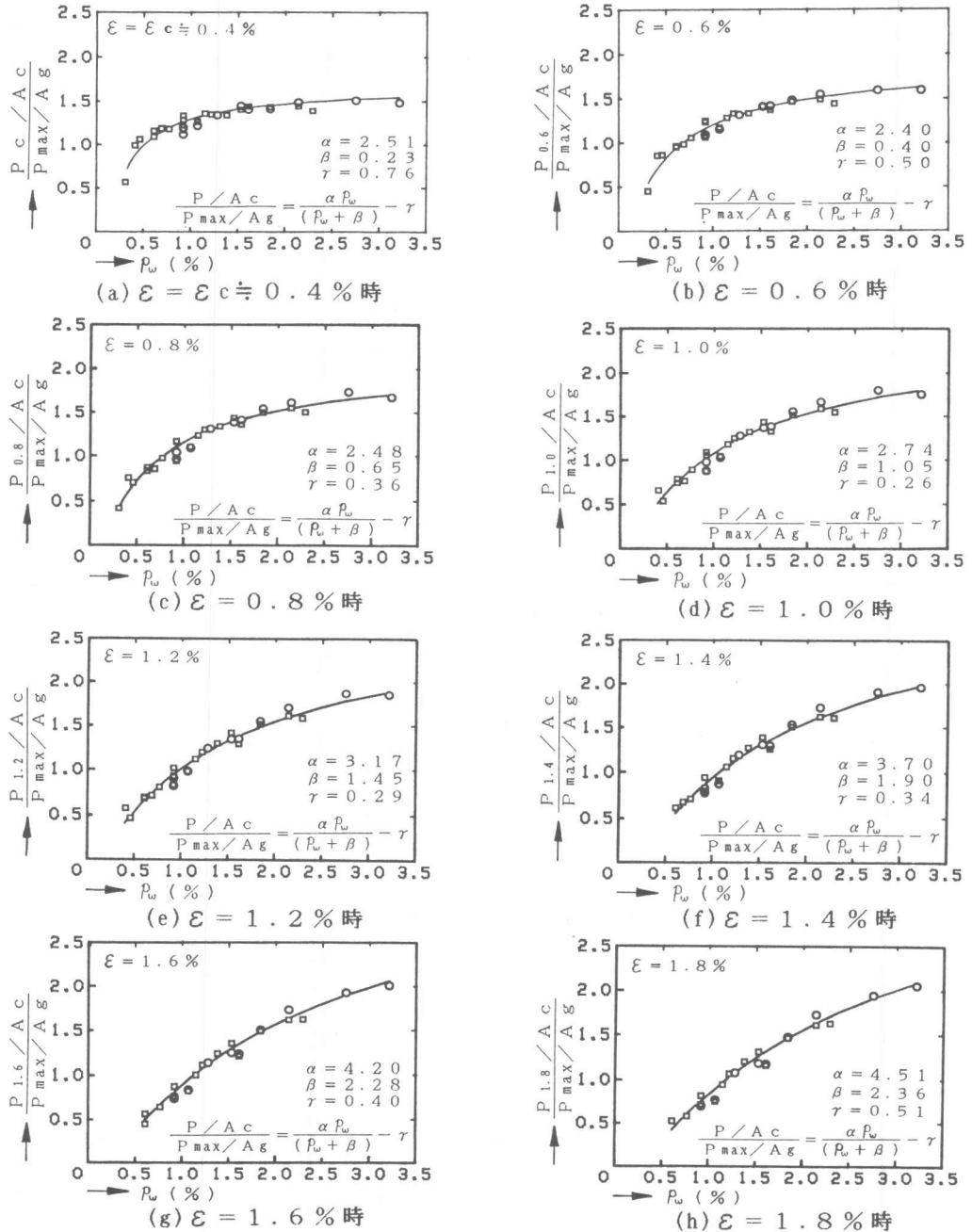
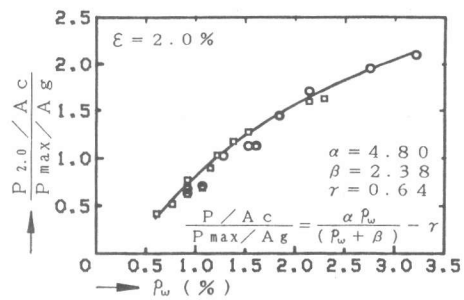
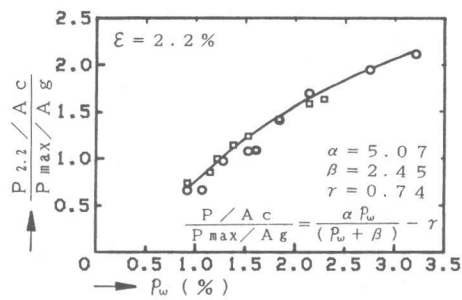


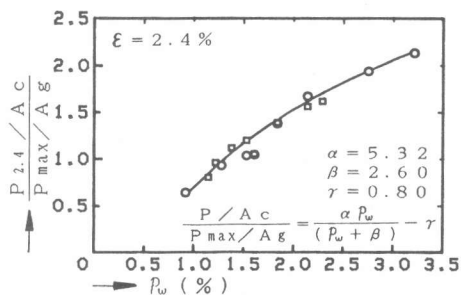
図-10 横補強筋比と耐力の関係



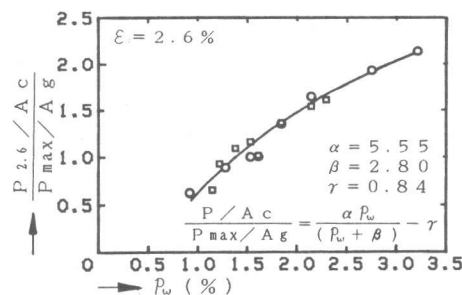
(i)  $\varepsilon = 2.0\%$  時



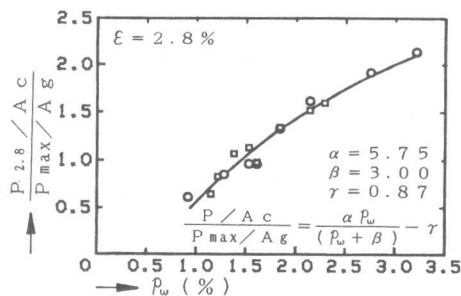
(j)  $\varepsilon = 2.2\%$  時



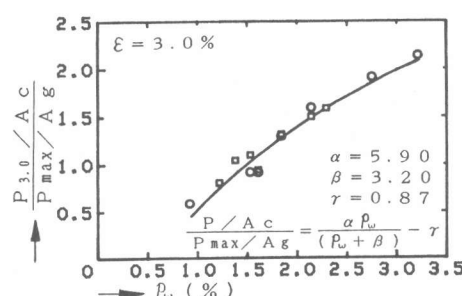
(k)  $\varepsilon = 2.4\%$  時



(l)  $\varepsilon = 2.6\%$  時



(m)  $\varepsilon = 2.8\%$  時



(n)  $\varepsilon = 3.0\%$  時

図-10 横補強筋比と耐力の関係

図-13は、各試験体の荷重-ひずみ曲線と実験式より求めてプロットした点とを比較したものである。荷重-ひずみ曲線と実験式よりプロットした点の誤差は、一部を除いて、ほとんどの試験体が $\pm 10\%$ 以内におさまっている。なお、ここで用いた  $P_{max}$ には各試験体かぶりコンクリート剥落前の最大耐力を用いた。

### 3. まとめ

鉄筋コンクリート柱において、

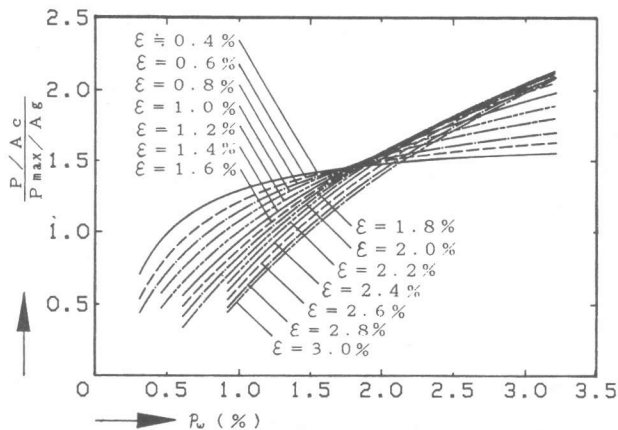


図-11 各ひずみ時の横補強筋比と耐力の関係

帯筋とそのコア内に異形棒鋼を溶接せず格子状に配筋した場合、その拘束効果による耐力への影響について、次のようなことがわかった。

1) 最大耐力 ( $P_{max}$ ) については、配筋量による影響は余りみられず、大部分の試験体においてシリンダ強度 ( $\sigma_B$ ) のほぼ 0.8 倍程度となった。

2) 荷重-ひずみ曲線のひずみ 3% までの傾向を実験式  $(P/A_c) / (P_{max}/A_g) = \alpha \rho_w / (\rho_w + \beta) - \gamma$  で  $\pm 10\%$  の誤差で表すことができた。なお、各ひずみ時の実験式の係数  $\alpha, \beta, \gamma$  は図-12 のようにとった。この実験式を求めるにあたり、コンクリートのシリンダ強度 ( $\sigma_B$ ) は  $260 \sim 310 \text{ kgf/cm}^2$ 、横補強筋の降伏応力度 ( $\sigma_y$ ) は  $3900 \text{ kgf/cm}^2$  であった。

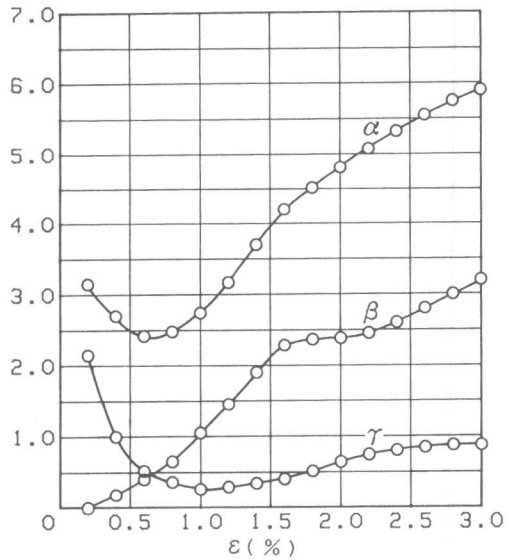
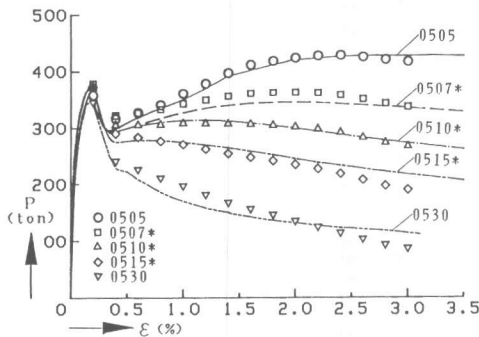
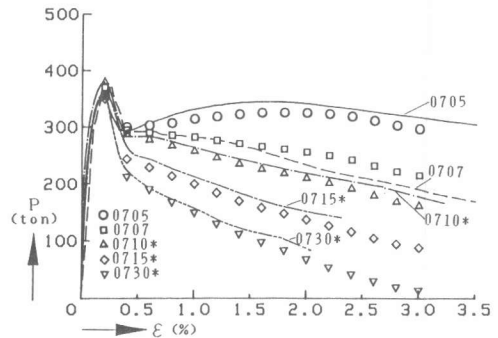


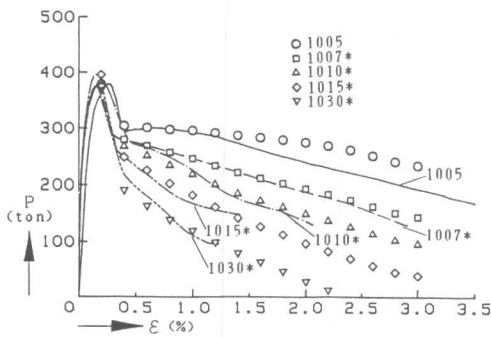
図-12 各ひずみ時の  $\alpha, \beta, \gamma$



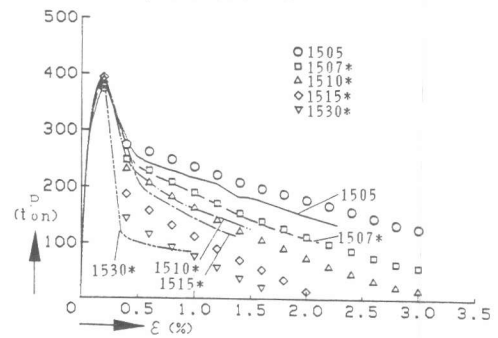
(a) 帯筋間隔 5 cm



(b) 帯筋間隔 7.5 cm



(c) 帯筋間隔 10 cm



(d) 帯筋間隔 15 cm

図-13 荷重-ひずみ曲線と実験式

参考文献

[1] 矢代秀雄, 花井重孝, 高橋勝治: 鉄筋コンクリート柱による靱性向上に関する実験的研究, 第8回コンクリート工学年次講演会論文集, p. p. 513-516, 1986.